

Corso di laurea in Matematica - Anno Accademico 2005/2006  
FM1 - Equazioni differenziali e meccanica

TUTORATO IX - LIVIA CORSI (SOLUZIONI DEGLI ESERCIZI)

ESERCIZIO 1.

(1.1) **Equazioni di Newton.** Poiché  $m = 1$ , il potenziale efficace è dato da

$$V_{\text{eff}}(\rho) = -\rho^2 + 4 \ln \rho + \frac{L^2}{2\rho^2}, \quad L \neq 0$$

e quindi l'equazione di Newton è

$$\ddot{\rho} = -\frac{dV_{\text{eff}}}{d\rho} = 2\rho - \frac{4}{\rho} + \frac{L^2}{\rho^3}$$

**Sistema dinamico associato.**

$$\begin{cases} \dot{\rho} = y \\ \dot{y} = -\frac{dV_{\text{eff}}}{d\rho} = 2\rho - \frac{4}{\rho} + \frac{L^2}{\rho^3} \end{cases}$$

(1.2) **Punti d'equilibrio.** Considerato il sistema dinamico associato, i punti in cui si annulla il campo vettoriale sono tutti e soli i punti della forma  $(\rho_0, 0)$  con  $\rho_0$  punto critico del potenziale efficace; pertanto dobbiamo risolvere l'equazione

$$-2\rho - \frac{4}{\rho} - \frac{L^2}{\rho^3} = 0$$

e questa ha soluzione se e solo se

$$2\rho^4 - 4\rho^2 + L^2 = 0$$

che ha soluzione se e solo se  $L^2 \leq 2$ . In particolare avremo

- per  $L^2 > 2$  nessun punto d'equilibrio.
- per  $L^2 = 2$  un solo punto d'equilibrio in  $(1, 0)$ .
- per  $L^2 \leq 2$  due punti d'equilibrio:

$$P_1 = (\rho_1, 0) = \left( \sqrt{1 - \sqrt{1 - \frac{1}{2}L^2}}, 0 \right) \quad P_2 = (\rho_2, 0) = \left( \sqrt{1 + \sqrt{1 - \frac{1}{2}L^2}}, 0 \right)$$

**Stabilità dei punti d'equilibrio.** Derivando ulteriormente il potenziale otteniamo

$$\frac{d^2V_{\text{eff}}}{d\rho^2} = -2 - \frac{4}{\rho^2} + \frac{3L^2}{\rho^4}$$

quindi, se  $L^2 = 2$  avremo che  $[d^2V_{\text{eff}}/d\rho^2](1) = 0$  e  $[dV_{\text{eff}}/d\rho] < 0$  per ogni valore di  $\rho \neq 1$  perciò  $\rho = 1$  è un punto di sella del potenziale efficace e quindi il punto d'equilibrio  $(1, 0)$  è instabile. Per  $L^2 \leq 2$  invece, si ha  $[d^2V_{\text{eff}}/d\rho^2](\rho_1) > 0$  quindi  $\rho = \rho_1$  è un punto di minimo del potenziale, pertanto  $P_1$  sarà un punto d'equilibrio stabile per il sistema. Viceversa  $[d^2V_{\text{eff}}/d\rho^2](\rho_2) < 0$  quindi  $\rho = \rho_2$  è un punto di massimo per il potenziale, quindi  $P_2$  sarà un punto d'equilibrio instabile.

(1.3) **Andamento all'infinito.**

$$\lim_{\rho \rightarrow +\infty} V_{\text{eff}}(\rho) = -\infty \quad \text{e} \quad \lim_{\rho \rightarrow 0} V_{\text{eff}}(\rho) = +\infty$$

indipendentemente dal valore di  $\rho$

## Grafico del potenziale.

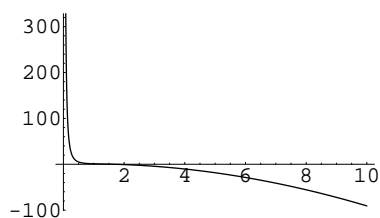


Figura 1: Grafico del potenziale per  $L^2 > 2$

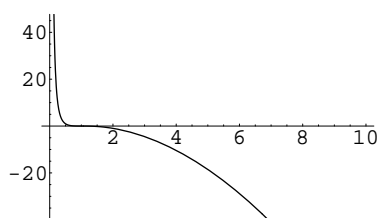


Figura 2: Grafico del potenziale per  $L^2 = 2$

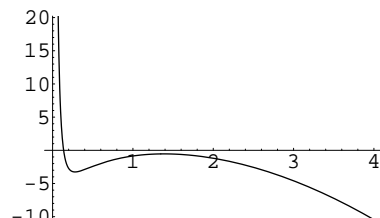


Figura 3: Grafico del potenziale per  $L^2 < 2$

(1.4) **Piano delle fasi.** Da  $E = y^2/2 + V_{\text{eff}}(\rho)$  otteniamo  $y = \pm\sqrt{2(E - V_{\text{eff}}(\rho))}$ . Perciò nel piano delle fasi avremo curve simmetriche rispetto all'asse  $\rho$ . Inoltre, poiché il potenziale efficace non è limitato dal basso, il moto sarà possibile per ogni valore di energia. Suddividiamo dunque il problema in tre casi.

**Caso 1.**  $L^2 > 2$ . Per ogni valore di  $E$  avremo una curva aperta con  $\lim_{\rho \rightarrow +\infty} y(\rho) = \pm\infty$ .

**Caso 2.**  $L^2 = 2$ .

- Per  $E < V_{\text{eff}}(1) = 0$  una traiettoria aperta con  $\lim_{\rho \rightarrow +\infty} y(\rho) = \pm\infty$ .
- Per  $E = 0$  due traiettorie aperte con  $\lim_{\rho \rightarrow +\infty} y(\rho) = \pm\infty$  rispettivamente e con  $\lim_{\rho \rightarrow 1} y(\rho) = 0$  con tangenza orizzontale e il punto d'equilibrio instabile  $(1, 0)$
- Per  $E > 0$  una traiettoria aperta con  $\lim_{\rho \rightarrow +\infty} y(\rho) = \pm\infty$ .

**Caso 3.**  $L^2 < 2$

- Per  $E < V_{\text{eff}}(\rho_1)$  una traiettoria aperta con  $\lim_{\rho \rightarrow +\infty} y(\rho) = \pm\infty$ .
- Per  $E = V_{\text{eff}}(\rho_1)$  una traiettoria aperta con  $\lim_{\rho \rightarrow +\infty} y(\rho) = \pm\infty$  e il punto stabile  $P_1$ .
- Per  $V_{\text{eff}}(\rho_1) < E < V_{\text{eff}}(\rho_2)$  una traiettoria aperta con  $\lim_{\rho \rightarrow +\infty} y(\rho) = \pm\infty$  e una periodica intorno al punto stabile  $P_1$
- Per  $E = V_{\text{eff}}(\rho_2)$  due traiettorie aperte con  $\lim_{\rho \rightarrow +\infty} y(\rho) = \pm\infty$  rispettivamente, il punto instabile  $P_2$  e una traiettoria omoclina che interseca le due aperte nel punto instabile con tangenti oblique.
- Per  $E > V_{\text{eff}}(\rho_2)$  una traiettoria aperta con  $\lim_{\rho \rightarrow +\infty} y(\rho) = \pm\infty$

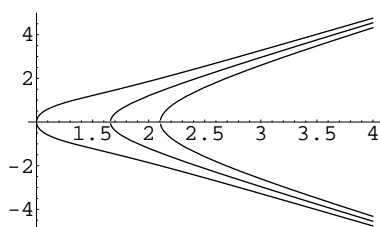


Figura 4: Piano delle fasi per  $L^2 > 2$

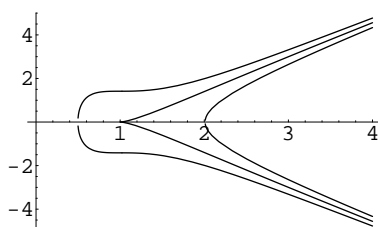


Figura 5: Piano delle fasi per  $L^2 = 2$

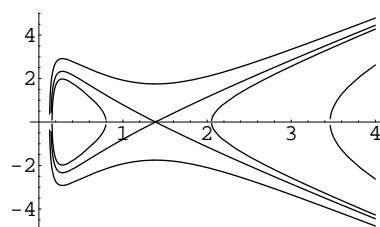


Figura 6: Piano delle fasi per  $L^2 < 2$

(1.5) **Traiettorie periodiche.** Per quanto visto al punto precedente, avremo traiettorie periodiche solo nel caso  $L^2 < 2$ . In particolare ciò avverrà per  $V_{\text{eff}}(\rho_1) < E < V_{\text{eff}}(\rho_2)$  e  $\rho < \rho_2$ .

### ESERCIZIO 2.

(2.1) **Equazione di Newton.** Essendo  $m = 1$ , il potenziale efficace è dato da

$$V_{\text{eff}}(\rho) = -\ln \rho - \frac{2}{\rho} + \frac{L^2}{2\rho^2} \quad L^2 \neq 0$$

e quindi l'equazione di Newton del sistema è

$$\ddot{\rho} = -\frac{dV_{\text{eff}}}{d\rho} = \frac{1}{\rho} - \frac{2}{\rho^2} + \frac{L^2}{\rho^3}$$

**Sistema dinamico associato.** Avendo posto  $y = \dot{\rho}$ , otteniamo il sistema dinamico

$$\begin{cases} \dot{\rho} = y \\ \dot{y} = \frac{1}{\rho} - \frac{2}{\rho^2} + \frac{L^2}{\rho^3} \end{cases}$$

(2.2) **Andamento all'infinito.**

$$\lim_{\rho \rightarrow +\infty} V_{\text{eff}}(\rho) = -\infty \quad \text{e} \quad \lim_{\rho \rightarrow 0} V_{\text{eff}}(\rho) = +\infty$$

indipendentemente dal valore di  $\rho$

**Punti critici.** Si tratta di risolvere l'equazione

$$-\frac{1}{\rho} + \frac{2}{\rho^2} - \frac{L^2}{\rho^3} = 0$$

che ha soluzione se e solo se

$$\rho^2 - 2\rho + L^2 = 0$$

e questa ammette soluzione se e solo se  $L^2 < 1$ . Quindi avremo

- Per  $L^2 > 1$  nessun punto critico
- Per  $L^2 = 1$  un solo punto critico in  $\rho_0 = 1$
- Per  $L^2 < 1$  due punti critici in  $\rho_{\pm} = 1 \pm \sqrt{1 - L^2}$ .

Inoltre, se  $L^2 = 1$  notiamo che  $[dV_{\text{eff}}/d\rho] < 0$  per ogni valore di  $\rho \neq 1$  e quindi il valore  $\rho = 1$  è un punto di sella per il potenziale efficace. Per  $L^2 \leq 1$  invece, si ha  $[d^2V_{\text{eff}}/d\rho^2](\rho_-) > 0$  quindi  $\rho = \rho_-$  è un punto di minimo del potenziale. Viceversa  $[d^2V_{\text{eff}}/d\rho^2](\rho_+) < 0$  quindi  $\rho = \rho_+$  è un punto di massimo per il potenziale.

**Grafico del potenziale.**

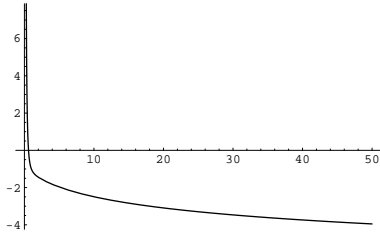


Figura 7: Potenziale per  $L^2 > 1$

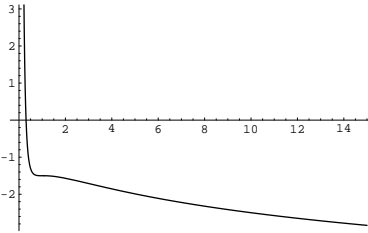


Figura 8: Potenziale per  $L^2 = 1$

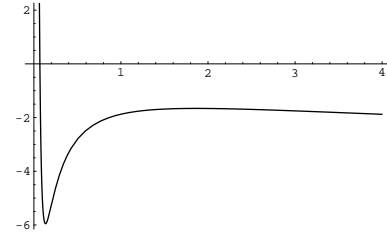


Figura 9: Potenziale per  $L^2 < 1$

(2.3) **Punti d'equilibrio e stabilità.** In generale i punti d'equilibrio sono tutti e soli della forma  $(\rho_0, 0)$  con  $\rho_0$  punto critico del potenziale, quindi suddividiamo nei tre casi. Se  $L^2 > 1$  il sistema non ammette punti critici. Se  $L^2 = 1$ , esiste un solo punto d'equilibrio  $P_0 = (1, 0)$  instabile. Infine se  $L^2 < 1$  il sistema ammette due punti d'equilibrio

$$P_- = (\rho_-, 0) = (1 - \sqrt{1 - L^2}, 0) \quad P_+ = (\rho_+, 0) = (1 + \sqrt{1 - L^2}, 0)$$

e  $P_+$  è instabile mentre  $P_-$  è stabile.

(2.4) **Piano delle fasi.** Da  $E = y^2/2 + V_{\text{eff}}(\rho)$  otteniamo  $y = \pm \sqrt{2(E - V_{\text{eff}}(\rho))}$ . Perciò nel piano delle fasi avremo curve simmetriche rispetto all'asse  $\rho$ . Inoltre, poiché il potenziale efficace non è limitato dal basso, il moto sarà possibile per ogni valore di energia. Suddividiamo dunque il problema in tre casi.

**Caso 1.**  $L^2 > 1$ . Per ogni valore di  $E$  avremo una curva aperta con  $\lim_{\rho \rightarrow +\infty} y(\rho) = \pm\infty$ .

**Caso 2.**  $L^2 = 1$ .

- Per  $E < V_{\text{eff}}(1) = -3/2$  una traiettoria aperta con  $\lim_{\rho \rightarrow +\infty} y(\rho) = \pm\infty$ .
- Per  $E = -3/2$  due traiettorie aperte con  $\lim_{\rho \rightarrow +\infty} y(\rho) = \pm\infty$  rispettivamente e con  $\lim_{\rho \rightarrow 1} y(\rho) = 0$  con tangenza orizzontale e il punto d'equilibrio instabile  $(1, 0)$
- Per  $E > 0$  una traiettoria aperta con  $\lim_{\rho \rightarrow +\infty} y(\rho) = \pm\infty$ .

**Caso 3.  $L^2 < 2$**

- Per  $E < V_{\text{eff}}(\rho_-)$  una traiettoria aperta con  $\lim_{\rho \rightarrow +\infty} y(\rho) = \pm\infty$ .
- Per  $E = V_{\text{eff}}(\rho_-)$  una triettoria aperta con  $\lim_{\rho \rightarrow +\infty} y(\rho) = \pm\infty$  e il punto stabile  $P_-$ .
- Per  $V_{\text{eff}}(\rho_-) < E < V_{\text{eff}}(\rho_+)$  una traiettoria aperta con  $\lim_{\rho \rightarrow +\infty} y(\rho) = \pm\infty$  e una periodica intorno al punto stabile  $P_-$
- Per  $E = V_{\text{eff}}(\rho_+)$  due traiettorie aperte con  $\lim_{\rho \rightarrow +\infty} y(\rho) = \pm\infty$  rispettivamente, il punto instabile  $P_2$  e una traiettoria omoclina che interseca le due aperte nel punto instabile con tangenti oblique.
- Per  $E > V_{\text{eff}}(\rho_+)$  una traiettoria aperta con  $\lim_{\rho \rightarrow +\infty} y(\rho) = \pm\infty$

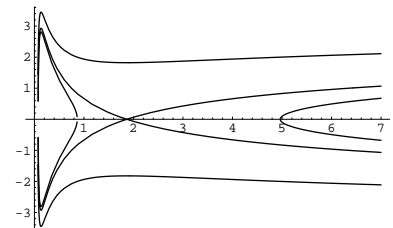
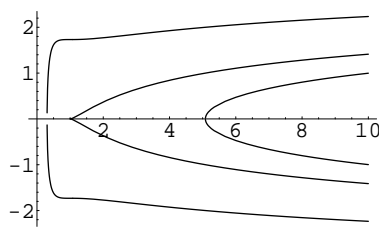
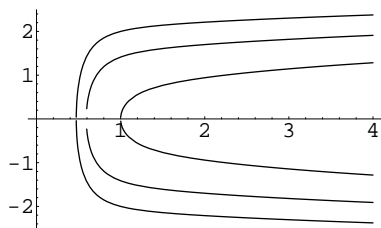


Figura 10: Piano delle fasi per  $L^2 > 1$     Figura 11: Piano delle fasi per  $L^2 = 1$     Figura 12: Piano delle fasi per  $L^2 < 1$

(2.5) **Traiettorie periodiche.** Per quanto visto al punto precedente, avremo traiettorie periodiche solo nel caso  $L^2 < 1$ . In particolare ciò avverrà per  $V_{\text{eff}}(\rho_-) < E < V_{\text{eff}}(\rho_+)$  e  $\rho < \rho_+$ .

(2.6) **Moto complessivo.** Avremo moto complessivo periodico in accordo con le condizioni date al punto precedente, e per  $\rho = \rho_-$ . Inoltre, essendo

$$\Delta\theta = 2 \int_{\rho_1}^{\rho_2} \frac{d\rho}{\rho^2 \sqrt{2L^{-2}(E - V_{\text{eff}}(\rho))}} \quad \{\rho_1, \rho_2\} \subset V_{\text{eff}}^{-1}(E)$$

dovrà valere anche  $\Delta\theta = 2\pi q$  per qualche  $q \in \mathbb{Q}$ .

ESERCIZIO 3.

(3.1) **Equazioni di Newton.** Poiché  $m = 1$ , il potenziale efficace è dato da

$$V_{\text{eff}}(\rho) = \frac{1}{\rho^4} + \frac{2}{\rho^3} + \frac{L^2}{2\rho^2}, \quad L \neq 0$$

e quindi l'equazione di Newton è

$$\ddot{\rho} = -\frac{dV_{\text{eff}}}{d\rho} = \frac{4}{\rho^5} + \frac{6}{\rho^4} + \frac{L^2}{\rho^3}$$

**Sistema dinamico associato.**

$$\begin{cases} \dot{\rho} = y \\ \dot{y} = -\frac{dV_{\text{eff}}}{d\rho} = \frac{4}{\rho^5} + \frac{6}{\rho^4} + \frac{L^2}{\rho^3} \end{cases}$$

(3.2) **Andamento all'infinito.**

$$\lim_{\rho \rightarrow +\infty} V_{\text{eff}}(\rho) = 0 \quad \text{e} \quad \lim_{\rho \rightarrow 0} V_{\text{eff}}(\rho) = +\infty$$

indipendentemente dal valore di  $L$

**Punti critici.** Si tratta di risolvere l'equazione

$$-\frac{4}{\rho^5} - \frac{6}{\rho^4} - \frac{L^2}{\rho^3} = 0$$

che ha soluzione se e solo se

$$L^2 \rho^2 + 6\rho + 4 = 0$$

e questa ammette soluzione se e solo se  $L^2 < 9/4$ . In ogni caso le eventuali soluzioni di tale equazione sono tutte negative mentre e quindi il potenziale efficace non ammette punti critici.

**Grafico del potenziale.**

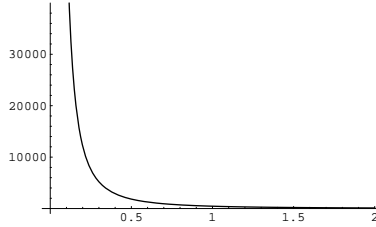


Figura 13: Potenziale efficace del sistema.

(3.3) **Punti d'equilibrio e stabilità.** In generale i punti d'equilibrio sono tutti e soli della forma  $(\rho_0, 0)$  con  $\rho_0$  punto critico del potenziale. D'altra parte, per quanto visto al punto precedente, il potenziale efficace non ammette punti critici; pertanto il sistema non ammette punti d'equilibrio.

(3.4) **Piano delle fasi.** Da  $E = y^2/2 + V_{\text{eff}}(\rho)$  otteniamo  $y = \pm\sqrt{2(E - V_{\text{eff}}(\rho))}$ . Perciò nel piano delle fasi avremo curve simmetriche rispetto all'asse  $\rho$ . Inoltre, poiché il potenziale efficace è limitato dal basso, il moto sarà possibile solo per  $E > \min V_{\text{eff}}(\rho)$ . Per tali livelli di energia avremo una traiettoria aperta con  $\lim_{\rho \rightarrow +\infty} y(\rho) = \pm\sqrt{2E}$ .

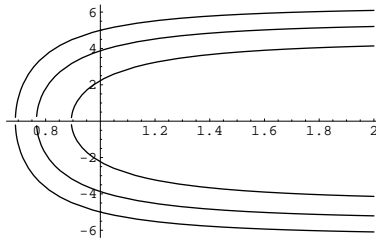


Figura 14: Potenziale efficace del sistema.

(1.5) **Traiettorie periodiche.** Per quanto visto al punto precedente, il sistema non ammette traiettorie periodiche.